

เอกสารอ้างอิง

“การปอกฟักทอง” [ระบบออนไลน์]. แหล่งที่มา

http://www.doae.go.th/library/html/detail/_pumpkin2.htm (14 พฤษภาคม 2553)

คำพัน บัวลักษณ์, สมชาติ ไสกพรรณฤทธิ์, สมเกียรติ ปรัชญาภรณ์ และวรุณี เตียง. (2550). การพอง ของกล้วยโดยเทคนิคร่วมระหว่างอาหารร้อนและไอน้ำร้อนbatching. การประชุมวิชาการ ด้านผลิตงานสิ่งแวดล้อมและวัสดุ ครั้งที่ 1, 1-8.

ทีวีชัย วงศ์ศักดิ์ไพรожน์. (2543). การอบแห้งหน่อไม้ด้วยไอน้ำร้อนbatching. วิทยานิพนธ์วิทยาศาสตร์ มหาบัณฑิต. สาขาวิชาเทคโนโลยีพลังงาน คณะพลังงานและวัสดุ มหาวิทยาลัยเทคโนโลยี พระจอมเกล้าธนบุรี.

“ผักและผลไม้เพื่อสุขภาพ” [ระบบออนไลน์]. แหล่งที่มา

http://www.adirek.com/stwork/fruitvet/_tong.htm . (14 พฤษภาคม 2553)

ผลสันต์ วงศ์ศักดิ์. (2548). การอบแห้งเนื้อหมูด้วยไอน้ำร้อนbatching. วิทยานิพนธ์วิศวกรรมศาสตร์ มหาบัณฑิต. สาขาวิชาเทคโนโลยีการจัดการพลังงาน คณะพลังงานและวัสดุ มหาวิทยาลัย เทคโนโลยีพระจอมเกล้าธนบุรี.

“ฟักทอง”. (2554). [ระบบออนไลน์]. แหล่งที่มา <http://th.wikipedia.org/wiki/>. (4 กุมภาพันธ์ 2554)

“ฟักทอง”. (2553). [ระบบออนไลน์]. แหล่งที่มา <http://www.vegetweb.com/>. (22 กุมภาพันธ์ 2553)

วันดี กฤษณพันธุ์. (2538). สมุนไพรสารพัคประโภชน์. คณะเภสัชศาสตร์ มหาวิทยาลัยมหิดล.
อิศเรศ ฐานกัลยา. (2543). การอบแห้งข้าวเปลือกโดยเทคนิคฟลูอิไซซ์เบคด้วยไอน้ำร้อนbatching,
วิทยานิพนธ์ปริญญาวิศวกรรมศาสตร์มหาบัณฑิต สาขาวิชาเทคโนโลยีพลังงาน คณะ
พลังงานและวัสดุ มหาวิทยาลัยเทคโนโลยี พระจอมเกล้าธนบุรี, 86 หน้า

Aghbashlo, M., Kianmehr, M. and Arabhosseini, A. (2008). Performance Analysis of Drying of Carrot Slices in a Semi-Industrial Continuous Band Dryer, Journal of Food Engineering, 91, pp. 99 - 108.

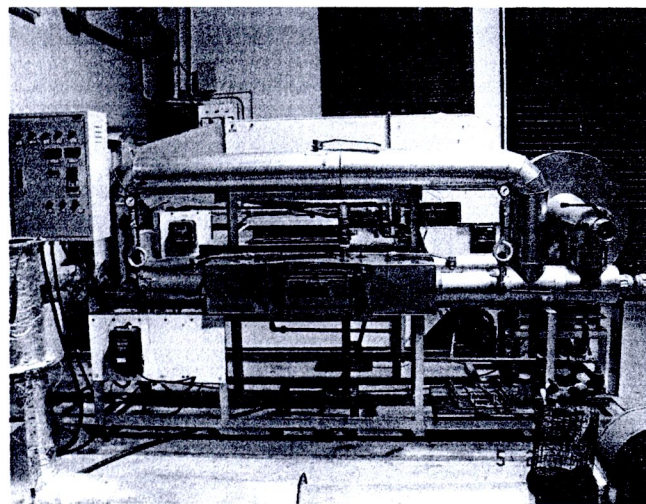
Alibas, I., (2006). Microwave, Air and Combined Microwave-air-drying Parameters of Pumpkin Slices. Department of Agricultural Machinery, Faculty of Agriculture. , Uludag University 16059 Bursa, Turkey

- Arun S. (2000). Department of Chemical engineering McGill University Montreal, Quebec, Canada, Handbook of Industrial drying S.EDI reviser and expanded V.2
- Brown, Z.K. Fryer, P.J. Norton, I.T. Bakalis ,S. and Bridson ,R.H.. (2007). Drying of Foods using Supercritical Carbon Dioxide - Investigations with Carrot, Innovative Food Science and Emerging Technologies, 9, pp. 280 - 289.
- Caixeta, A.T., Moreira, R. and Castell-perez, M.E. (2001). Impingement Drying of Potato Chips, Journal of Food Process Engineering, 25, pp. 63-90.
- Carrot, <http://www.orst.edu/Dept/NWREC/carrot.html>/ Commercial Vegetable Guides, College of Agriculture Sciences, Oregon State University.
- Castilho, C.G., Mauro, M.A., Kimura,M. (2007). Kinetics of Osmotic Dehydration and Air-Drying of Pumpkins (*Cucurbita moschata*).Department of Food Engineering and Technology, Institute of Biosciences, Language and Physical Sciences (IBILCE), UNESP – Sao Paulo StateUniversity, SP, Brazil
- Doymaz, I. (2006). The Kinetics of Forced Convective Air-Drying of Pumpkin Slices. Department of Chemical Engineering, Yildiz Technical University, 34210 Esenler, Istanbul, Turkey.
- Elustondo,D. M., Mujumdar, A. S. and Urbicain, M. J. (2002). Optimum Operating Condition in Drying Foodstuffs with Superheated Steam, Drying Technology, 20(2), pp. 381-402.
- Iyota, H., Nishimura, N., Yoshida, M. and Nomura, T. (2001). Simulation of Superheated Steam Drying Considering Initial Steam Condensation, Drying Technology, Vol. 19, No. 7, pp. 1425-1440.
- Jamradloedluk, J., Nathakaranakule, A., Soponronnarit, S., and Prachayawarakorn, S. (2003). Drying of Durian Slices in Superheated Steam and Hot Air. Proceedings of the 3rd Asia-Pacific Drying Conference. Thailand. pp. 667.
- Kocabiyik, H. and Tezer, D. (2008). Drying of Carrot Slices using Infrared Radiation, International Journal of Food Science and Technology, pp. 953–959.
- Lavelli V., Zanoni B. and Zaniboni A. (2007). Effect of Water Activity on Carotenoid Degradation in Dehydrated Carrots, Food Chemistry, pp. 1705-1711.
- Li, Y.B., Seyed-Yagoobi, Y.B., Moreira, G.R. and Yamasaengsung, R. (1999). Superheated steam Impingement Drying of Tortilla Chips, Drying Technology, 17(1&2), pp. 191-213.

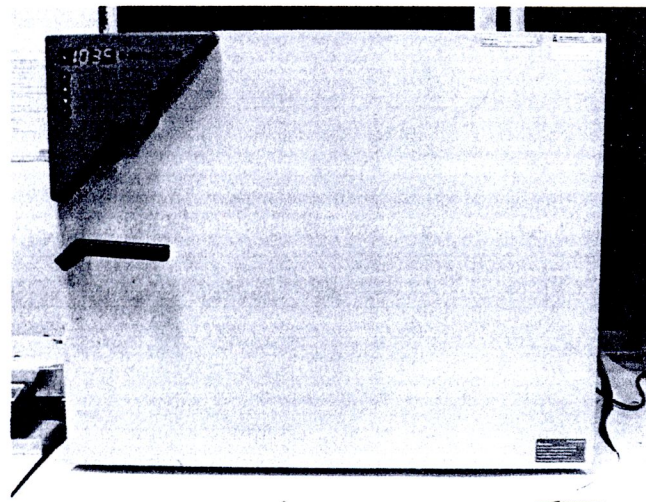
- Lorenz, A.O., and D.N. Maynard. (1980). Composition of The Edible Portions of Fresh, Raw Vegetables, Knott's Handbook for Vegetable Growers. 2nd. Edition, Wiley Interscience Publication. New York. pp 22-29
- Mayer-Miebach, E. Behsnilian, D. Regier, M. and Schuchmann,H.P. (2005). Thermal Processing of Carrots: Lycopene Stability and Isomerisation with Regard to Antioxidant Potential, Food Research International, pp. 1103-1108
- Nawirska , A., Figiel, A., Kucharska, A., Z, Towska, A.and Biesiada, A. (2009). Drying Kinetics and Quality Parameters of Pumpkins Slices Dehydrated using Different Methods, a Department of Fruit, Vegetables and Grain Technology, Polandb Institute of Agricultural Engineering, Wroclaw University of Environmental and Life Sciences, ul. C.K. Norwida 25, 50-375.
- Schwartz, J.P. and Brocker, S. (2000). The Evaporation of Water into Air of Different Humidities and The Inversion Temperature Phenomenon, International Journal of Heat & Mass Transfer, Vol. 43, No. 10, pp. 1971-1800
- Sheikholeslami, R. and Watkinson, A.P. (1992). On the Rate of Evaporation of Water Into a Stream of Dry Air, Humidified Air and Superheated Steam, and The Inversion Temperature, International Journal of Heat & Mass Transfer, Vol. 35, No. 7, pp. 1743-1751.
- Srikiatden, J. and John S. Roberts. (2005). Measuring Moisture Diffusivity of Potato and Carrot (Core and Cortex) during Convective Hot Air and Isothermal Drying, Journal of Food Engineering, 74, pp. 143-152.
- Stephane, A., Flavia, M. and Theodore, P. (1998). Preservation of - Carotene from Carrots, Reviews in Food Science and Nutrition, pp. 381 - 396.
- Tarnawaki, W.Z., Mitera, J., Borowski, P. and Klepaczka, A. (1996). Energy Analysis on Use of Air and Superheated Steam as Drying Media, Drying Technology, Vol. 14, No. 7&8, pp. 1733-1749.
- “ Texture Technologies ” http://www.texturetechnologies.com/texture_profile_analysis.html.
(22 Jan 2006)
- Yoshida, T. and Hyodo, T. (1970). Evaporation of Water in Air, Humid Air and Superheated Steam, Ind. Eng. Chem. Process Des. Develop., Vol. 9, No. 2, pp. 207-214.

ภาคผนวก

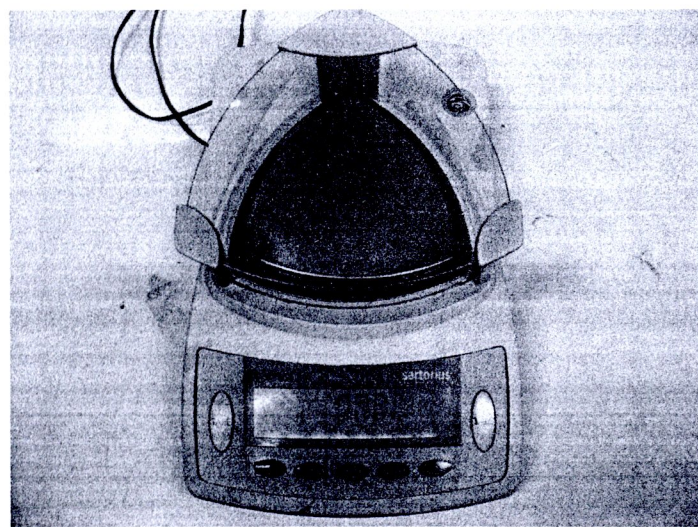
ภาคผนวก ก
อุปกรณ์ที่ใช้ในการทดลอง



รูป ก.1 เครื่องอบแห้งไอน้ำร้อนบวดยิ่ง



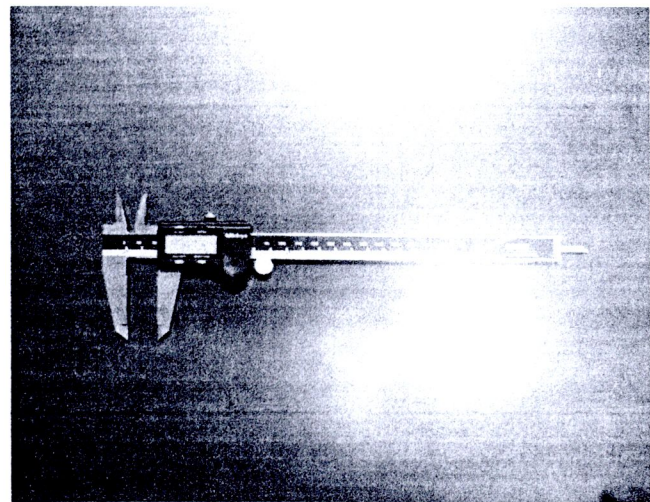
รูป ก.2 ตู้อบลมร้อน (Hot Air Oven) ยี่ห้อ WBT Binder
รุ่น BD/ED/FD with R3-Controller



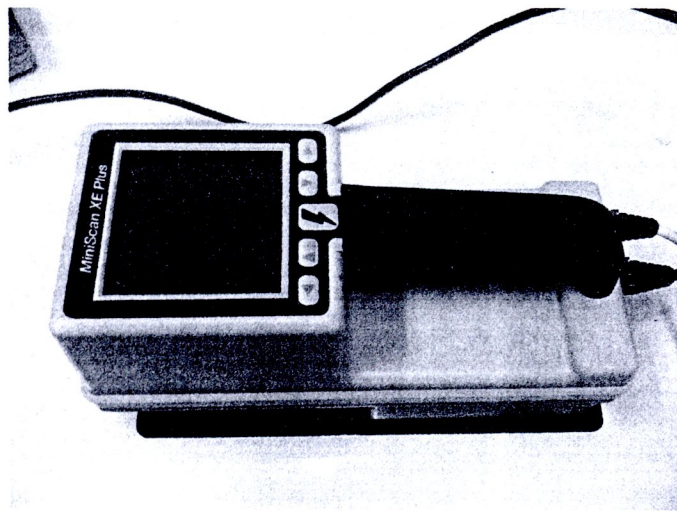
รูป ก.3 เครื่องชั่งน้ำหนักความละเอียด 0.001 กรัม ยี่ห้อ Sartorius รุ่น CR323S



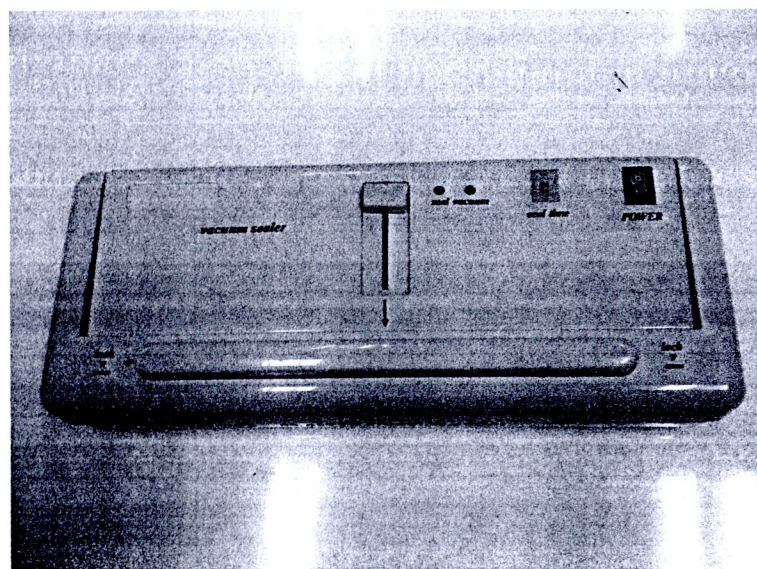
รูป ก.4 อุปกรณ์วัดความเร็วลมและความดัน ยี่ห้อ TSI รุ่น 8385-M-GB



รูป ก.5 เวอร์เนียร์



รูป ก.6 เครื่องวัดด้วย Miniscan XE plus



รูป ก.7 เครื่องดูดอากาศและเครื่องผนึกถุง

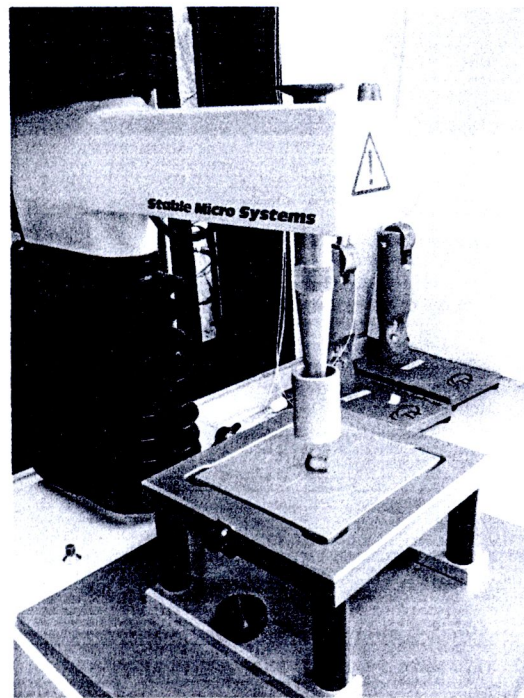


รูป ก.8 เครื่องวัด Water activity รุ่น Testo 650

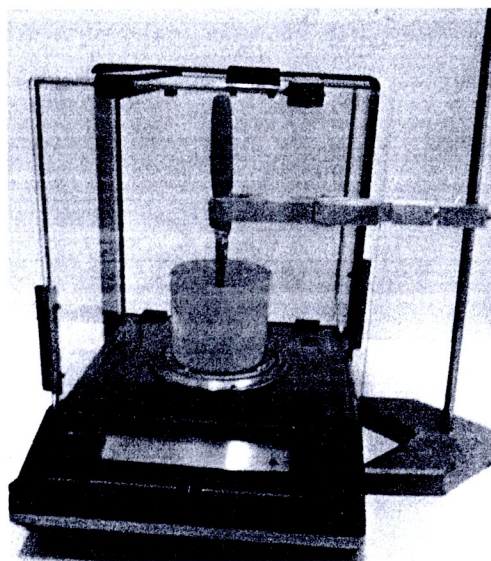


4 1 2005

รูป ก.9 เครื่องมือวัดอุณหภูมิ Kane-May รุ่น KM330 (Type K)



รูป ก. 10 เครื่อง Texture Analyzer (TA.XT2i/50 Texture Technologies, US)

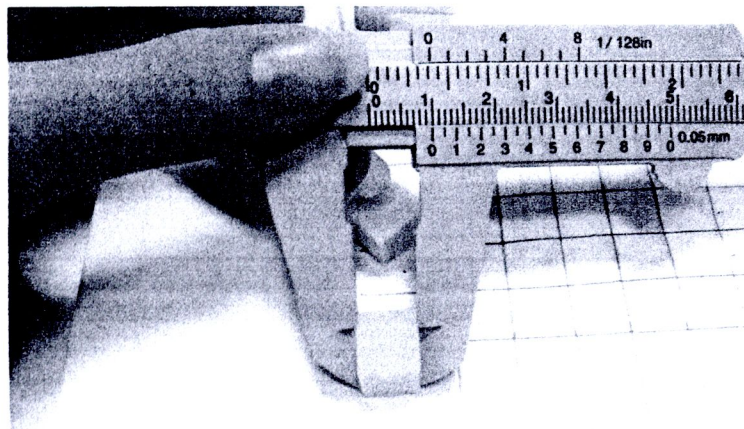


รูป ก. 11 การจัดอุปกรณ์วัดปริมาตรของวัสดุ



รูป ก. 12 เครื่องมือวัดอุณหภูมิและความชื้นสัมพัทธ์

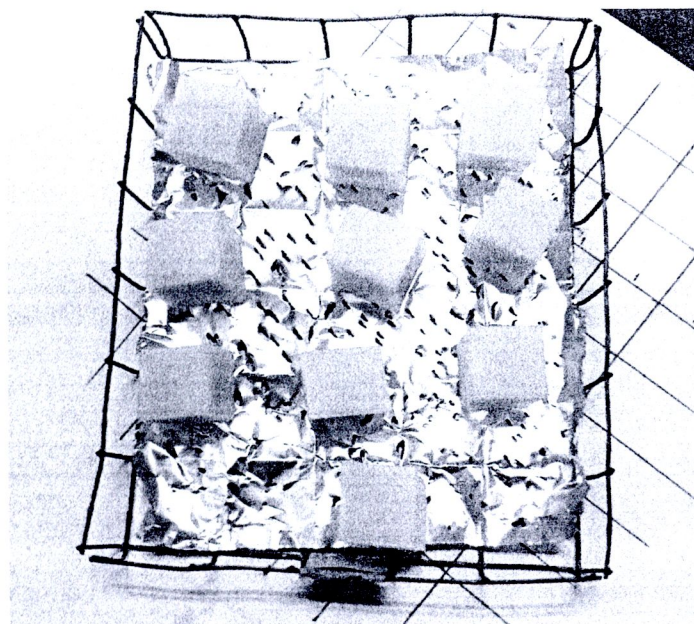
ภาคผนวก ฯ
ภาพผลการทดสอบที่กักของอนแท้ทั้งหัวใจอย่างร้อนแรงยิ่ง



รูป ข.1 หันฟูกทองเป็นรูปทรงลูกบาศก์ขนาด $10 \times 10 \times 10 \text{ mm}^3$



รูป ข.2 ฟูกทองรูปทรงลูกบาศก์ขนาด $10 \times 10 \times 10 \text{ mm}^3$ ก่อนทำการอบแห้ง



รูป ข.3 เตรียมพักทองสดก่อนทำการอบแห้ง



รูป ข.4 ลักษณะการหดตัวพักทองหลังทำการอบแห้ง
(จากสภาพว่าที่เหมาะสมคืออุณหภูมิ 160°C ความเร็วไอน้ำร้อน吹 2 m/s)



รูป ข.5 ลักษณะการคืนตัวฟิกทองหลังทำการอบแห้ง
(จากสภาพวัสดุเหมาะสมคืออุณหภูมิ 160°C ความเร็วไอน้ำร้อนยอดยิ่ง 2 m/s)



ภาคผนวก ก
ข้อมูลการทดลองการอบแห้ง

ตาราง ก.1 ข้อมูลการทดลองและผลการหาอัตราส่วนความชื้นของพืกทองที่ทำการอบแห้งโดยใช้ไอน้ำร้อนယดยิ่งอุณหภูมิ 120°C ความเร็วไอน้ำร้อนယดยิ่ง 2 m/s

Drying time (min)	น้ำหนักตัวอย่าง			ความชื้น (db.)			อัตราส่วนความชื้น			อัตราส่วน ความชื้น เฉลี่ย
	1	2	3	1	2	3	1	2	3	
0	14.89	14.86	14.62	8.21	8.21	8.21	1	1	1	1
5	14.37	14.33	14.29	6.809	6.83	6.766	0.829	0.831	0.824	0.828
10	10.537	10.51	10.63	4.488	4.445	4.479	0.546	0.541	0.545	0.626
20	5.31	5.18	5.34	1.737	1.683	1.724	0.211	0.204	0.209	0.208
30	3.35	3.16	3.44	0.744	0.654	0.773	0.090	0.079	0.094	0.088
40	2.85	2.86	2.84	0.507	0.529	0.51	0.061	0.064	0.0621	0.062
50	2.76	2.64	2.75	0.437	0.383	0.424	0.053	0.046	0.0516	0.050
60	2.68	2.53	2.55	0.41	0.338	0.335	0.049	0.041	0.0408	0.0439
70	2.29	2.13	2.28	0.198	0.121	0.219	0.024	0.014	0.0266	0.0218

ตาราง ก.2 ข้อมูลการทดลองและผลการหาอัตราส่วนความชื้นของพืกทองที่ทำการอบแห้งโดยใช้ไอน้ำร้อนယดยิ่งอุณหภูมิ 140°C ความเร็วไอน้ำร้อนယดยิ่ง 2 m/s

Dryin g time (min)	น้ำหนักตัวอย่าง			ความชื้น (db.)			อัตราส่วนความชื้น			อัตราส่วน ความชื้น เฉลี่ย
	1	2	3	1	2	3	1	2	3	
0	14.89	14.86	14.62	8.21	8.21	8.21	1	1	1	1
5	13.37	13.32	13.42	6.215	6.026	6.161	0.739	0.745	0.733	0.739
10	11.09	11.012	11.22	4.629	4.547	4.589	0.563	0.553	0.558	0.558
20	5.09	5.02	5.01	1.189	1.153	1.19	0.199	0.191	0.189	0.193
30	3.07	3.21	3.15	0.365	0.441	0.403	0.071	0.078	0.073	0.074
40	2.8	2.81	2.87	0.236	0.313	0.196	0.054	0.054	0.059	0.056
50	2.42	2.35	2.37	0.103	0.163	0.193	0.031	0.026	0.026	0.028

ตาราง ค.3 ข้อมูลการทดลองและผลการหาอัตราส่วนความชื้นของฟักทองที่ทำการอบแห้งโดยใช้ไอน้ำร้อนbatchยิ่งอุณหภูมิ 160°C ความเร็วไอน้ำร้อนbatchยิ่ง 2 m/s

Drying time (min)	นำหนักตัวอย่าง			ความชื้น (db.)			อัตราส่วนความชื้น			อัตราส่วนความชื้น เฉลี่ย
	1	2	3	1	2	3	1	2	3	
0	14.89	14.86	14.62	8.21	8.21	8.21	1	1	1	1
5	13.71	13.42	13.75	6.215	6.026	6.161	0.757	0.733	0.750	0.747
10	10.97	10.92	10.975	4.596	4.628	4.686	0.559	0.563	0.570	0.564
20	4.27	4.22	4.25	1.189	1.153	1.19	0.144	0.140	0.144	0.143
30	2.65	2.35	2.75	0.365	0.441	0.403	0.044	0.053	0.049	0.049
40	2.81	2.521	2.31	0.236	0.313	0.196	0.028	0.038	0.023	0.030
50	2.13	2.21	2.28	0.103	0.163	0.193	0.012	0.019	0.023	0.018

ตาราง ค.4 ข้อมูลการทดลองและผลการหาอัตราส่วนความชื้นของฟักทองที่ทำการอบแห้งโดยใช้ไอน้ำร้อนbatchยิ่งอุณหภูมิ 180°C ความเร็วไอน้ำร้อนbatchยิ่ง 2 m/s

Drying time (min)	นำหนักตัวอย่าง			ความชื้น (db.)			อัตราส่วนความชื้น			อัตราส่วนความชื้น เฉลี่ย
	1	2	3	1	2	3	1	2	3	
0	14.89	14.86	14.62	8.21	8.21	8.21	1	1	1	1
5	13.751	13.932	13.974	5.903	5.931	5.917	0.719	0.722	0.720	0.720
10	12.95	12.92	12.94	4.18	4.209	4.155	0.509	0.512	0.506	0.509
20	2.74	2.73	2.46	0.419	0.429	0.394	0.051	0.052	0.047	0.050
30	2.23	2.18	2.15	0.143	0.112	0.108	0.017	0.013	0.013	0.014

ตาราง ก.5 ข้อมูลการทดลองและผลการหาอัตราส่วนความชื้นของพิกทองที่ทำการอบแห้งโดยใช้ไอน้ำร้อนบخارยิ่งอุณหภูมิ 120°C ความเร็วไอน้ำร้อนบخارยิ่ง 4 m/s

Drying time (min)	น้ำหนักตัวอย่าง			ความชื้น (db.)			อัตราส่วนความชื้น			อัตราส่วน ความชื้น เฉลี่ย
	1	2	3	1	2	3	1	2	3	
0	14.89	14.86	14.62	8.21	8.21	8.21	1	1	1	1
5	14.377	14.339	14.382	6.527	6.468	6.413	0.795	0.787	0.781	0.787
10	13.81	13.99	13.86	6.192	6.211	6.107	0.754	0.756	0.743	0.751
20	8.47	8.51	8.32	3.384	3.319	3.288	0.412	0.404	0.400	0.405
30	3.47	3.12	3.22	0.788	0.583	0.659	0.095	0.071	0.080	0.082
40	2.87	2.93	2.91	0.502	0.505	0.507	0.061	0.061	0.061	0.061
50	2.27	2.23	2.25	0.176	0.149	0.171	0.021	0.018	0.020	0.020

ตาราง ก.6 ข้อมูลการทดลองและผลการหาอัตราส่วนความชื้นของพิกทองที่ทำการอบแห้งโดยใช้ไอน้ำร้อนบخارยิ่งอุณหภูมิ 140°C ความเร็วไอน้ำร้อนบخارยิ่ง 4 m/s

Drying time (min)	น้ำหนักตัวอย่าง			ความชื้น (db.)			อัตราส่วนความชื้น			อัตราส่วน ความชื้น เฉลี่ย
	1	2	3	1	2	3	1	2	3	
0	14.89	14.86	14.62	8.21	8.21	8.21	1	1	1	1
5	14.05	14.04	14.14	6.553	6.589	6.561	0.798	0.802	0.799	0.799
10	12.87	12.71	12.84	5.703	5.654	5.793	0.694	0.688	0.705	0.696
20	7.13	7.03	7.11	2.601	2.605	2.609	0.316	0.317	0.318	0.317
30	2.71	2.49	2.75	0.382	0.283	0.395	0.046	0.034	0.048	0.043
40	2.521	2.39	2.275	0.299	0.238	0.184	0.036	0.028	0.022	0.029
50	2.17	2.24	2.15	0.179	0.185	0.149	0.021	0.022	0.018	0.020

ตาราง ค.7 ข้อมูลการทดลองและผลการหาอัตราส่วนความชื้นของฟักทองที่ทำการอบแห้งโดยใช้ไอน้ำร้อนbatchยิ่งอุณหภูมิ 160°C ความเร็วไอน้ำร้อนbatchยิ่ง 4 m/s

Drying time (min)	น้ำหนักตัวอย่าง			ความชื้น (db.)			อัตราส่วนความชื้น			อัตราส่วนความชื้นเฉลี่ย
	1	2	3	1	2	3	1	2	3	
0	14.89	14.86	14.62	8.21	8.21	8.21	1	1	1	1
5	10.981	10.532	10.974	4.526	4.346	4.514	0.551	0.529	0.549	0.543
10	3.06	3.037	3.01	0.54	0.534	0.512	0.065	0.065	0.062	0.064
20	2.56	2.61	2.89	0.326	0.338	0.464	0.039	0.041	0.056	0.0458
30	2.34	2.33	2.19	0.225	0.194	0.128	0.027	0.023	0.015	0.0227

ตาราง ค.8 ข้อมูลการทดลองและผลการหาอัตราส่วนความชื้นของฟักทองที่ทำการอบแห้งโดยใช้ไอน้ำร้อนbatchยิ่งอุณหภูมิ 180°C ความเร็วไอน้ำร้อนbatchยิ่ง 4 m/s

Drying time (min)	น้ำหนักตัวอย่าง			ความชื้น (db.)			อัตราส่วนความชื้น			อัตราส่วนความชื้นเฉลี่ย
	1	2	3	1	2	3	1	2	3	
0	14.89	14.86	14.62	8.21	8.21	8.21	1	1	1	1
5	9.151	9.532	9.974	3.692	3.838	4.012	0.449	0.467	0.488	0.468
10	3.051	3.002	3.074	0.548	0.547	0.552	0.066	0.066	0.067	0.066
20	2.17	2.23	2.15	0.112	0.137	0.125	0.013	0.016	0.0155	0.015
30	2.19	2.26	2.34	0.134	0.164	0.238	0.016	0.019	0.028	0.021

ภาคผนวก ง

ผลการคำนวณค่าสัมประสิทธิ์การแพร่ความชื้นโดยรวม และค่าคงที่การออมแห้ง

ตาราง ๔.๑ ผลการคำนวณค่าสัมประสิทธิ์การแพร่ความชื้นโดยรวมของการอบแห้งพิกทองคัวขี้ไอ
น้ำร้อนbatchที่อุณหภูมิ 120, 140, 160 และ 180°C ความเร็วไอน้ำร้อนbatch 2 และ 4 m/s

Drying condition (°C, m/s)	D (m^2/min)				
	ครั้งที่ 1 [*]	ครั้งที่ 2 [*]	ครั้งที่ 3 [*]	Model (1)	Model (2)
120, 2 m/s	1.25E-07	1.26E-07	1.25E-07	8.95E-08	5.35E-08
120, 4 m/s	8.54E-08	8.80E-08	8.84E-08	8.95E-08	1.01E-07
140, 2 m/s	1.25E-07	1.26E-07	1.25E-07	1.46E-07	9.43E-08
140, 4 m/s	1.02E-07	1.03E-07	1.01E-07	1.46E-07	1.78E-07
160, 2 m/s	1.25E-07	1.25E-07	1.32E-07	2.10E-07	1.41E-07
160, 4 m/s	3.14E-07	3.25E-07	3.13E-07	2.10E-07	2.66E-07
180, 2 m/s	1.47E-07	1.47E-07	1.49E-07	2.81E-07	1.93E-07
180, 4 m/s	3.82E-07	3.69E-07	3.54E-07	2.81E-07	3.65E-07

หมายเหตุ : เป็นการทดลองซ้ำในเงื่อนไขการทดลองที่เหมือนกัน

ตาราง 4.2 ผลการคำนวณค่าคงที่การอบแห้งของ การอบแห้งฟักทองคั่วข้าวอ่อนขาวบิ้งที่อุณหภูมิ 120, 140, 160 และ 180°C ความเร็วไอน้ำร้อนขาวบิ้ง 2 และ 4 m/s

Drying condition (°C, m/s)	k (min^{-1})				
	ครั้งที่ 1 [*]	ครั้งที่ 2 [*]	ครั้งที่ 3 [*]	Model (3)	Model (4)
120, 2 m/s	0.0650	0.0661	0.0652	0.0527	0.0358
120, 4 m/s	0.0509	0.0520	0.0523	0.0527	0.0600
140, 2 m/s	0.0697	0.0702	0.0764	0.0779	0.0573
140, 4 m/s	0.0583	0.0589	0.0582	0.0779	0.0962
160, 2 m/s	0.0743	0.0745	0.0732	0.1070	0.0819
160, 4 m/s	0.1638	0.1687	0.1638	0.1070	0.1374
180, 2 m/s	0.0860	0.0856	0.0865	0.1398	0.1095
180, 4 m/s	0.1906	0.1855	0.1798	0.1398	0.1837

หมายเหตุ * เป็นการทดลองซ้ำในเงื่อนไขการทดลองที่เหมือนกัน

ภาคผนวก ๗
ผลการคำนวณอัตราส่วนความชื้นจากแบบจำลองทางคณิตศาสตร์

ตาราง จ.1 อัตราส่วนความชื้นของฟักทองที่ทำการอบแห้งโดยใช้ไอน้ำร้อนขวดยิ่งอุณหภูมิ 120°C
ความเร็วไอน้ำร้อนขวดยิ่ง 2 m/s (จากผลการทดลองและแบบจำลอง)

Drying time (min)	อัตราส่วนความชื้น (คำนวณจากค่า D)			อัตราส่วนความชื้น (คำนวณจากค่า k)	
	Experiment	Model 1	Model 2	Model 3	Model 4
0.00	1	0.882	0.882	1.00	1
5.00	0.828	0.597	0.665	0.77	0.829
10.00	0.626	0.481	0.570	0.59	0.546
20.00	0.208	0.338	0.446	0.35	0.211
30.00	0.088	0.249	0.362	0.21	0.09
40.00	0.062	0.188	0.299	0.12	0.061
50.00	0.050	0.143	0.250	0.07	0.053
60.00	0.0439	0.109	0.211	0.04	0.049
70.00	0.0218	0.083	0.178	0.02	0.024

ตาราง จ.2 อัตราส่วนความชื้นของฟักทองที่ทำการอบแห้งโดยใช้ไอน้ำร้อนขวดยิ่งอุณหภูมิ 120°C
ความเร็วไอน้ำร้อนขวดยิ่ง 4 m/s (จากผลการทดลองและแบบจำลอง)

Drying time (min)	อัตราส่วนความชื้น (คำนวณจากค่า D)			อัตราส่วนความชื้น (คำนวณจากค่า k)	
	Experiment	Model 1	Model 2	Model 3	Model 4
0.00	1	0.882	0.882	1.00	1
5.00	0.787	0.597	0.579	0.77	0.795
10.00	0.751	0.481	0.457	0.59	0.754
20.00	0.405	0.338	0.312	0.35	0.412
30.00	0.082	0.249	0.223	0.21	0.095
40.00	0.061	0.188	0.163	0.12	0.061
50.00	0.020	0.143	0.120	0.07	0.021

ตาราง จ.3 อัตราส่วนความชื้นของฟิกทองที่ทำการอบแห้งโดยใช้ไอน้ำร้อนbatchอุณหภูมิ 140°C ความเร็วไอน้ำร้อนbatchยิ่ง 2 m/s (จากผลการทดลองและแบบจำลอง)

Drying time (min)	อัตราส่วนความชื้น (คำนวณจากค่า D)			อัตราส่วนความชื้น (คำนวณจากค่า k)	
	Experiment	Model 1	Model 2	Model 3	Model 4
0.00	1	0.882	0.882	1.00	1
5.00	0.739	0.518	0.595	0.68	0.739
10.00	0.558	0.383	0.476	0.46	0.563
20.00	0.193	0.231	0.327	0.21	0.199
30.00	0.074	0.147	0.243	0.10	0.071
40.00	0.056	0.095	0.182	0.04	0.054
50.00	0.028	0.067	0.138	0.02	0.031

ตาราง จ.4 อัตราส่วนความชื้นของฟิกทองที่ทำการอบแห้งโดยใช้ไอน้ำร้อนbatchอุณหภูมิ 140°C ความเร็วไอน้ำร้อนbatchยิ่ง 4 m/s (จากผลการทดลองและแบบจำลอง)

Drying time (min)	อัตราส่วนความชื้น (คำนวณจากค่า D)			อัตราส่วนความชื้น (คำนวณจากค่า k)	
	Experiment	Model 1	Model 2	Model 3	Model 4
0.00	1	0.882	0.882	1.00	1
5.00	0.799	0.518	0.487	0.68	0.798
10.00	0.696	0.383	0.345	0.46	0.694
20.00	0.317	0.231	0.194	0.21	0.316
30.00	0.043	0.147	0.115	0.10	0.046
40.00	0.029	0.095	0.070	0.04	0.036
50.00	0.020	0.067	0.044	0.02	0.021

ตาราง จ.5 อัตราส่วนความชื้นของพิกทองที่ทำการอบแห้งโดยใช้ไอน้ำร้อนbatch อุณหภูมิ 160°C ความเร็วไอน้ำร้อนbatch ยิ่ง 2 m/s (จากผลการทดลองและแบบจำลอง)

Drying time (min)	อัตราส่วนความชื้น (คำนวณจากค่า D)			อัตราส่วนความชื้น (คำนวณจากค่า k)	
	Experiment	Model 1	Model 2	Model 3	Model 4
0.00	1	0.882	0.882	1.00	1
5.00	0.747	0.450	0.524	0.59	0.757
10.00	0.564	0.304	0.390	0.34	0.559
20.00	0.143	0.155	0.239	0.12	0.144
30.00	0.049	0.083	0.154	0.04	0.044
40.00	0.030	0.044	0.100	0.01	0.028
50.00	0.018	0.024	0.066	0.00	0.012

ตาราง จ.6 อัตราส่วนความชื้นของพิกทองที่ทำการอบแห้งโดยใช้ไอน้ำร้อนbatch อุณหภูมิ 160°C ความเร็วไอน้ำร้อนbatch ยิ่ง 4 m/s (จากผลการทดลองและแบบจำลอง)

Drying time (min)	อัตราส่วนความชื้น (คำนวณจากค่า D)			อัตราส่วนความชื้น (คำนวณจากค่า k)	
	Experiment	Model 1	Model 2	Model 3	Model 4
0.00	1	0.882	0.882	1.00	1
5.00	0.543	0.450	0.402	0.59	0.551
10.00	0.064	0.304	0.252	0.34	0.065
20.00	0.045	0.155	0.111	0.12	0.039
30.00	0.022	0.083	0.050	0.04	0.027

ตาราง จ.7 อัตราส่วนความชื้นของพิกทองที่ทำการอบแห้งโดยใช้ไอน้ำร้อนบวคชิ่งอุณหภูมิ 180°C ความเร็วไอน้ำร้อนบวคชิ่ง 2 m/s (จากผลการทดลองและแบบจำลอง)

Drying time (min)	อัตราส่วนความชื้น (คำนวณจากค่า D)			อัตราส่วนความชื้น (คำนวณจากค่า k)	
	Experiment	Model 1	Model 2	Model 3	Model 4
0.00	1	0.882	0.882	1.00	1
5.00	0.720	0.390	0.466	0.50	0.719
10.00	0.509	0.240	0.322	0.25	0.509
20.00	0.050	0.101	0.172	0.06	0.051
30.00	0.014	0.044	0.096	0.02	0.017

ตาราง จ.8 อัตราส่วนความชื้นของพิกทองที่ทำการอบแห้งโดยใช้ไอน้ำร้อนบวคชิ่งอุณหภูมิ 180°C ความเร็วไอน้ำร้อนบวคชิ่ง 4 m/s (จากผลการทดลองและแบบจำลอง)

Drying time (min)	อัตราส่วนความชื้น (คำนวณจากค่า D)			อัตราส่วนความชื้น (คำนวณจากค่า k)	
	Experiment	Model 1	Model 2	Model 3	Model 4
0.00	1	0.882	0.882	1.00	1
5.00	0.468	0.390	0.334	0.50	0.449
10.00	0.066	0.240	0.184	0.25	0.066
20.00	0.045	0.101	0.061	0.06	0.013
30.00	0.021	0.044	0.021	0.02	0.016

ภาคผนวก ๙
ข้อมูลการทดสอบการหาปริมาณของวัสดุหลังอบแห้ง

ตาราง ฉ.1 ข้อมูลการทดลองการหาปริมาตรของพักทองที่ทำการอบแห้งโดยใช้ไอน้ำร้อนควบคุม อุณหภูมิ 120, 140, 160 และ 180°C ความเร็ว 2 m/s

ผลต่างมวลที่วัดได้ก่อนอบแห้ง ($m_s - m_n$)₀ = 1.030 ± 0.093 กรัม

ครั้งที่วัด	ผลต่างมวลที่วัดได้หลังอบแห้ง ($m_s - m_n$) _f , g				% Shrinkage			
	180°C	160°C	140°C	120°C	180°C	160°C	140°C	120°C
1	0.468	0.377	0.453	0.566	54.51	63.319	55.734	45.066
2	0.428	0.408	0.343	0.584	58.747	60.324	66.666	43.269
3	0.488	0.306	0.365	0.959	52.642	70.26	64.517	42.388
4	0.419	0.452	0.435	0.250	59.302	56.131	57.751	44.996
5	0.408	0.314	0.388	0.588	60.394	69.45	62.332	42.882
6	0.531	0.267	0.314	0.631	48.425	74.03	69.52	38.724
7	0.511	0.336	0.408	0.494	52.677	67.371	60.394	51.973
8	0.487	0.344	0.391	0.474	56.558	66.56	62.05	53.946
9	0.525	0.403	0.371	0.566	49.013	60.852	63.988	45.512
10	0.490	0.376	0.356	0.593	52.396	63.495	65.398	45.402
	Mean				54.466	65.179	62.835	45.405
	SD				4.193	5.370	4.125	5.085

ตาราง ฉ.2 ข้อมูลการทดลองการหาปริมาตรของพิกทองที่ทำการอบแห้งโดยใช้ไอน้ำร้อนบวบยิ่ง อุณหภูมิ 120, 140, 160 และ 180°C ความเร็ว 4 m/s

ผลต่างมวลที่วัดได้ก่อนอบแห้ง $(m_s - m_n)_0 = 1.030 \pm 0.093$ กรัมกรัม

ครั้งที่ตัด	ผลต่างมวลที่วัดได้หลังอบแห้ง $(m_s - m_n)_f$, g				% Shrinkage			
	180°C	160°C	140°C	120°C	180°C	160°C	140°C	120°C
1	0.481	0.554	0.423	0.504	53.241	46.44	58.91	51.017
2	0.414	0.431	0.432	0.386	59.76	58.1	58.06	62.463
3	0.425	0.517	0.405	0.464	58.738	49.753	60.676	54.927
4	0.412	0.419	0.473	0.478	59.936	59.302	54.016	53.612
5	0.415	0.455	0.474	0.656	70.366	55.813	53.911	36.337
6	0.416	0.488	0.464	0.412	59.548	52.607	54.933	59.939
7	0.447	0.488	0.339	0.389	56.553	52.572	67.054	62.214
8	0.444	0.575	0.355	0.533	56.906	44.201	65.468	48.209
9	0.489	0.638	0.022	0.534	52.536	38.055	55.073	48.209
10	0.502	0.407	0.462	0.527	51.268	60.46	51.123	48.849
	Mean			57.8852	51.7303	57.8852	52.5776	
	SD			5.41281	7.210009	5.41281	7.95561	

ภาคผนวก ช

- การคำนวณความชื้นวัสดุ
- การวิเคราะห์สมการลด削อยกำลังสองน้อยที่สุด
- การวิเคราะห์ความแปรปรวน

1. การคำนวณหาค่าความชื้นของวัสดุ

ความชื้นเป็นตัวบวกปริมาณของน้ำที่มีอยู่ในวัสดุเมื่อเปรียบเทียบกับมวลวัสดุชี้หรือวัสดุแห้ง การหาค่าความชื้นของวัสดุโดยการซึ่งน้ำหนักของวัสดุ แล้วนำไปใส่ตู้อบ Oven ที่อุณหภูมิประมาณ 103°C ประมาณ 72 h และซึ่งน้ำหนักก็จะครึ่งหนึ่ง โดยน้ำหนักของวัสดุที่ผ่านการอบที่อุณหภูมนี้มาแล้วถือว่าเป็นน้ำหนักแห้ง จากนั้นก็สามารถนำไปคำนวณหาค่าความชื้นได้ตามสมการ

ความชื้นมาตรฐานเปียก

$$M_w = \frac{(w - d)}{w} \quad (1)$$

หรือความชื้นมาตรฐานแห้ง

$$M_d = \frac{(w - d)}{d} \quad (2)$$

เมื่อ M_w คือ ความชื้นมาตรฐานเปียก, % d.b.

M_d คือ ความชื้นมาตรฐานเปียก, % d.b.

w คือ น้ำหนักของวัสดุ, kg

d คือ น้ำหนักแห้งของวัสดุ, kg

2. การวิเคราะห์สมการลด削อยกำลังสองน้อยที่สุด (Least Square)

ในการสร้างสมการทางคณิตศาสตร์มีหลาบวิธีและวิธีที่นิยมใช้กันมากคือ การวิเคราะห์สมการลด削อยกำลังสองน้อยที่สุด และขอยกตัวอย่างโดยการพิจารณาสมการเชิงเส้น ดังนี้

$$y = a + bx \quad (3)$$

โดยที่จำนวนข้อมูลเท่ากับ m ค่า คือ $(x_1, y_1), (x_2, y_2), \dots, (x_m, y_m)$ ค่าผลรวม S จะอยู่ในรูปดังนี้

$$S = \sum_{i=1}^m (y_i - a - bx_i)^2 \rightarrow \text{Minimum} \quad (4)$$

เมื่อ S คือ ผลรวมของค่ายกกำลังสองของค่าแตกต่าง ซึ่งค่าที่น้อยที่สุดของ S เกิดขึ้น เมื่อทำ การอนุพันธ์ย่อย $\frac{\partial S}{\partial a} = 0$ และ $\frac{\partial S}{\partial b} = 0$ ดังนี้

$$\frac{\partial \sum_{i=1}^m (y_i - a - bx_i)^2}{\partial a} = \sum_{i=1}^m 2(a + bx_i - y_i) = 0 \quad (5)$$

$$\frac{\partial \sum_{i=1}^m (y_i - a - bx_i)^2}{\partial b} = \sum_{i=1}^m 2(a + bx_i - y_i)x_i = 0 \quad (6)$$

จากการจัดสมการใหม่จะได้

$$ma + b\sum x_i = \sum y_i \quad (7)$$

$$a\sum x_i + b\sum x_i^2 = \sum x_i y_i \quad (8)$$

ซึ่งเมื่อทำการแทนค่าผลรวมของค่าตัวแปรอิสระ $\sum x_i$, $\sum x_i^2$ และค่าตัวแปรจริงที่ต้องการ $\sum x_i$ และ $\sum x_i^2$ จะสามารถหาค่าคงที่ a และ b เพื่อแทนลงในสมการ $y = a + bx$ สมการดังกล่าวจะสามารถแทนค่าของข้อมูล ซึ่งให้ความแตกต่างจากข้อมูลจริงน้อยที่สุด ดังนี้

$$S = \sum_{i=1}^m R^2 = \sum_{i=1}^m (y_i - \hat{y}_i)^2 \rightarrow \text{Minimum} \quad (9)$$

โดยที่ R^2 คือ ค่าความแตกต่างของค่าที่ได้จากการ y_i เทียบกับค่าที่ได้จากข้อมูล \hat{y}_i
หมายเหตุ : ในงานวิจัยนี้ได้ใช้โปรแกรม Statistica เข้ามาช่วยในการวิเคราะห์

3. การวิเคราะห์ความแปรปรวน (ANOVA Analysis)

การวิเคราะห์ความแปรปรวน (Analysis of variance, ANOVA) เป็นการทดสอบความแตกต่างของค่าเฉลี่ยทางสถิติ การวิเคราะห์ความแปรปรวนจะแบ่งด้วยแบบออกเป็นด้วยแปรอิสระและด้วยแปรตาม และในการวิเคราะห์ทางสถิติเบื้องต้น ด้วยแปรตามจะมี 1 ตัว ด้วยแปรอิสระอาจจะมี 1 ตัว หรือมากกว่าก็ได้ และเรียกการวิเคราะห์นี้ว่า การวิเคราะห์ความแปรปรวนทางเดียว (One-way-ANOVA) แต่ถ้าด้วยแปรอิสระมีมากกว่า 1 ตัว จะเรียกชื่อตามจำนวนด้วยแปรอิสระ เช่น ด้วยแปรอิสระ 2 ตัว เรียกว่า การวิเคราะห์ความแปรปรวนสองทาง (Two-way-ANOVA)

ในการวิเคราะห์ความแปรปรวนนักนำเสนอค่าสถิติต่างๆ ที่ได้จากการคำนวณมาสรุปไว้ในรูปของตารางวิเคราะห์ความแปรปรวนดังนี้

แหล่งความแปรปรวน	df	SS	MS	F	P
ระหว่างกลุ่ม (B)	k-1	SSB	MSB=SSB/(k-1)	MSB/M	
ภายในกลุ่ม (W)	n-k	SSW	MSW=SSW/(n-k)	SW	
รวม (T)	n-1	SST			

เมื่อ	df	คือ ระดับขั้นความเสี่ยง
	SS	คือ ผลรวมกำลังสอง
	MS	คือ ค่ากำลังสองเฉลี่ย
	F	คือ ค่าสถิติ F หรือ $F_{\text{ที่ยอม}}$
	P	คือ ความน่าจะเป็นของค่าสถิติ F
	K	คือ จำนวนกลุ่ม
	N	คือ จำนวนข้อมูลทั้งหมด
	MSB	คือ ผลรวมกำลังสองเฉลี่ยระหว่างกลุ่ม
	SS	คือ ผลรวมกำลังสองเฉลี่ยภายในกลุ่ม

ขั้นตอนในการวิเคราะห์ข้อมูลมีดังนี้

- 1) ระดับข้อมูล
- 2) สมมติฐาน
- 3) ค่าสถิติที่ใช้ทดสอบ

4) ระดับนัยสำคัญ

5) การตัดสินใจ

6) การแปลผล

หมายเหตุ : ในงานวิจัยนี้ได้ใช้คปกรแกรม SPSS เข้ามาช่วยในการวิเคราะห์ความแปรปรวนทางเดียว (One-way-ANOVA)

ภาคผนวก ๔
บทความตีพิมพ์



**การถ่ายทอด
พัฒนาบความร้อนและมวล
ในอุปกรณ์ด้านความร้อนและกระบวนการ
(ครั้งที่ 10)**

และการร่วมกิจกรรมการถ่ายทอดสู่ปีที่ 72
ของศาสตราจารย์ ดร.ปรีดา วิбуลย์สวัสดิ์

The 10th Conference on Energy,
Heat and Mass Transfer in Thermal Equipments
and Processes in Commemoration to the Pace
of the 72nd Year of Professor Dr. Prida Wibulswas



วันที่ 10-11 มีนาคม 2554
ณ โรงแรม เชียงใหม่ไกรเด็นเดลวิว จังหวัดเชียงใหม่
ห้องปฏิบัติการวิจัยระบบทางอุตสาหกรรม ภาควิชาวิศวกรรมเครื่องกล
คณะวิศวกรรมศาสตร์ มหาวิทยาลัยเชียงใหม่



102

การถ่ายทอดจานความร้อนแบบ:
ในอุปกรณ์ด้านความร้อนและกระบวนการ
(ครั้งที่ 10)

การอบแห้งพัฟทองโดยใช้ไอน้ำร้อนやすดิ่ง

DRYING OF PUMPKIN USING SUPERHEATED STEAM

พิพารธรรม บุญเรือง
กอบเช้าสุ นามสกุล
ภาควิชาวิศวกรรมเครื่องกล
คณะวิศวกรรมศาสตร์
มหาวิทยาลัยเชียงใหม่
เชียงใหม่ 50200

โทร. 08-9853-7534,
E-mail: thiphawan.b@gmail.com

บทคัดย่อ

วัตถุประสงค์ของงานวิจัยนี้เพื่อศึกษาถึงผลของการอบแห้งพัฟทองโดยใช้ไอน้ำร้อนやすดิ่ง และศึกษาผลกระทบอุณหภูมิและความเร็วของไอน้ำร้อนやすดิ่งที่มีต่อเวลาการอบแห้งและคุณภาพของพัฟทองหลังการอบแห้ง โดยที่การทดลองแบ่งเป็นสองช่วง ไอน้ำร้อนやすดิ่งที่อุณหภูมิ 120 °C, 140 °C, 160 °C และ 180 °C ที่ความเร็ว 2 m/s และ 4 m/s สำหรับการอบแห้งพัฟทองนึ่งความชื้นสุก 18% d.m. จากนั้นวิเคราะห์คุณภาพพัฟทอง ผลกระทบ และเนื้อผักหัว จากการศึกษาพบว่าเมื่ออุณหภูมิและความเร็วของไอน้ำร้อนやすดิ่ง ทำให้เวลาในการอบแห้งสั้นลง ด้านคุณภาพของผลิตภัณฑ์ พบว่าผลกระทบ อุณหภูมิและความเร็วของไอน้ำร้อนやすดิ่งมี影向โน่นไปแต่น้อยกว่า影向ของค่าความเร็วแห้ง ด้านคุณภาพพัฟทองที่อุณหภูมิสูงมีผลให้การลดตัวมีน้ำหนักเพิ่มขึ้น ส่วนคุณภาพพัฟหัวเนื้อสัมผัสรู้ได้แก่ ความแข็ง ทนทาน ความแข็งและลดลงเมื่ออุณหภูมิเพิ่มสูงขึ้น ส่วนความเร็วของไอน้ำร้อนやすดิ่งไม่มีผลต่อคุณภาพพัฟหัวเลย จากการศึกษาที่ว่าด้วยคุณภาพและระยะเวลาในการอบแห้งพัฟหัว ว่าการอบแห้งพัฟหัวโดยไอน้ำร้อนやすดิ่ง อุณหภูมิ 160°C ความเร็ว 4 m/s เมินผลกระทบที่เหมาะสมที่สุด ซึ่งใช้เวลาในการอบแห้ง 0.5 ชั่วโมง (30 นาที) และพัฟหัวที่ได้หลังการอบแห้งมีสีเหลืองอมเขียว

คำสำคัญ: พัฟทอง, ไอน้ำร้อนやすดิ่ง, คุณภาพของผลิตภัณฑ์

Abstract

The purpose of this research is to study the drying kinetics of pumpkin using superheated steam. The experiments were performed at the superheated steam temperatures of 120 °C, 140 °C, 160 °C and 180 °C and steam velocities of 2 m/s and 4 m/s. The products were dried to final moisture content at approximately 18% dry basis. The effects of drying temperature and drying velocity on drying kinetics and quality of dried products were investigated. The quality of pumpkin was evaluated in term of color, shrinkage and texture. The results showed that the drying time decreased with increasing steam temperature and increasing steam velocity. The effects of temperature and velocity of steam were not obvious on color change. Also, the results indicated that higher drying temperature seemed to yielded product with higher degree of shrinkage but lower value degree of hardness, while the effect of drying velocity on all properties was not significant. Considering both product quality and drying time, superheated steam at 160°C and 4 m/s is the suitable drying condition for drying pumpkin; the drying time was 0.5 hour (30 minutes) and the best product of orange colour was obtained.

Keywords: Pumpkin, Superheat steam, Product quality

1. ນາທຳ

พัทกมองเป็นผู้คนไม่รู้เรื่องที่มีความสำคัญที่สุดที่ทำให้ในช่วงประทุมไท ไทย มีสิ่งที่เกิดต่อถูกไปไม่แตกต่างจากเดิมที่เป็นภารกิจคือ สร้างรัฐภารกิจและประทุมภัยซึ่ง¹⁴ เป็นผลให้ที่ปลูกฝ่ายสามารถเชิญชวนให้ได้ใช้เดินเรือน ปัจจุบันที่มีการระบุนามนี้ด้วย¹⁴ ผลพัทกมองออกในอุทกุณามาช่วงเดือน พฤศจิกายนที่เดือนกุมภาพันธ์ พัทกมองที่เข้ารับโภคสัมนาการเรียกหน่อ ไว้รับราชศิริภูโภคไว้แทนฯ ไม่ต้องรอได้ถึงเดือน¹⁵ ทางภกษยควรรับกัน ผลผลิตตัวอย่างความประทุมต่อรัฐ ไม่ได้ก่อการบุณห้ามชาติให้มีผลอาชญากรรมเกิน รัฐบาลได้ดำเนินการเพื่อแก้ไขใน ไม่ว่าจะดูจากลักษณะให้เป็นผลดีตามที่คาดหวัง ต้องการ ยังคงภาคภูมิอยู่กับโภคและภกษยควรรู้จักหัวเรือพัทกมอง ตัวตนนี้ การปฏิรูปพัทกมอง ไม่เป็นทางเดียวที่เกี่ยวข้องกับปัญหาเหล่านี้ และยังเป็นทางเดียวที่สำคัญต่อพัทกมอง ปัจจุบัน มีการเผยแพร่ให้กับวงในที่บูรณาภรณ์แล้ว เช่น หัวหน้าสอน หรือพัทกมองเอง การอบรมและมั่วบุญธรรมแต่ตัวร่วมร่วมรักษาเรื่อง อะไรที่สำคัญในการอบรมเด็กนักเรียน สำนักการสอนในไม้นั้น ผลลัพธ์ที่ได้รับก็จะมี บริการดีขึ้นและไม่สามารถนำไปใช้ประโยชน์ได้ไม่ดีนั้นจะมีก็แค่ในปัจจุบัน ไม่เป็นที่แน่นอนที่จะสามารถนำไปใช้ประโยชน์ได้ในอนาคต แม้จะมีก็แค่ในปัจจุบันที่จะสามารถนำไปใช้ประโยชน์ได้

การอบรมหัวข้อใบ้เร้าอย่างชาติยังใช้ได้ก็ตามนี้ไว้ เมื่อจะยกเป็น
วิธีการสอนเพื่อสืบสานที่มีศักดิ์ของพุทธโดยให้อธิบายว่าอย่างแห่งที่ชู
ผลิตภัณฑ์การสอนหัวข้อ นี้การสอนด้านนี้อยู่ ดูมาทางเดียว การสอนแห่งการสอน
หัวข้อการเผยแพร่องค์ความรู้ให้กับผู้คนนั้นเป็นการสอนที่มีรักษาอาหารที่ทำได้ให้กับ
ความสนใจและมีการศึกษาจริง พร้อมกันนี้ไปในเรื่องของเชิงในเรื่อง 20 กว่าปี
ที่มีมา ไม่ได้รักษาอย่างเดียวแต่ต้องมีความมุ่งมั่นสู่การรักษาอย่างเดียวและหัวข้อที่
ความต้นที่มี คือความพยายามในการสืบทอดความเชื่อของชาติฯ ทำให้เกิดถูกต้องนี้เมื่อ
ความเชื่อนั้นจะได้รับ และไม่มีผลกระทบในเรื่อง จึงทำให้เกิดความถูกต้องสำหรับ
อาหารถูกต้องโดยนิยม ถือว่าถูกต้องในการขยายเท่านั้นที่ได้โกรธสร้างของวัสดุอันดี
เสียงประกายงาม ลักษณะของเรื่องที่สอนหัวข้อแบบนี้จะเป็นการสอนหัวข้อใบ้เร้า
อย่างชาติยังเป็นเรื่องของการที่จะต้องแนะนำผลิตภัณฑ์ที่สำคัญของประเทศให้กับคุณภาพ
ดี และถูกต้องนี้เป็นเรื่องที่ต้องจำไว้

การซึ้ง¹³ ได้ทำการศึกษาการอบแห้งหางนกอ่อนพัชราไอกิน้ำร้อนของเม็ดเงินเปรี้ยวนที่เก็บกับการอบแห้งหัวใจและหัวกระเพาะโดยอุณหภูมิ 120, 140 และ 160 °C และอบร้อนอุณหภูมิต่ำที่ 55 และ 70 °C และอีกด้วยการให้ความชื้นร่วมกับปะมาณา 0.024 kg/kg มวลผลที่ไม่ใช่ปะมาณา 0.5 kg ความชื้นเริ่มต้นของวัสดุปะมาณา 19 d.b. สมบัติการซึ้งสูงที่สุดอยู่ที่ปะมาณา 0.17 d.b. และสำหรับการปรับเปลี่ยนเพื่อทนถูกไฟฟ้าไม่ให้ดังการอบแห้งหัวใจที่ได้จากการอบแห้งหัวใจโดยน้ำร้อนอุณหภูมิร้อนขึ้นอันดับหนึ่ง และหนึ่งอีกต่อไปน้ำร้อนอุณหภูมิที่รีบด้วยการอบแห้งหัวใจที่ได้ต่อ อัตราการอบแห้งหัวใจไม่ดีกว่าน้ำร้อนอุณหภูมิที่รีบด้วยการอบแห้งหัวใจ 120 °C สำหรับการอบแห้งหัวใจและหัวกระเพาะโดยอุณหภูมิร้อนแห้งหัวใจและหัวกระเพาะในช่วง 140-160 °C ซึ่งมีค่าซึ้งกว่าการอบแห้งหัวใจอุณหภูมิร้อนแห้งหัวใจ หุ้นภาพในคราบเนื้อร่องไม่ใช้มีลักษณะของแห้งหัวใจในร่องเนื้อร่องอย่างเดียวและร่องร้อนโดยไม่ใช้อุณหภูมิร้อนและกระบวนการแห้งหัวใจในร่องที่ไม่ใช้ร่องน้ำ เป็นร่องที่ใช้ร่องหัวใจไม่ใช่การอบแห้งหัวใจและหัวกระเพาะที่อุณหภูมิต่ำกว่าในภาพนี้ที่แสดงและน้ำร้อนประทุม

Doymaz⁴⁴ ได้ศึกษาเรื่องพอกกระเบร์การอบแห้งรักษาพืชที่อยู่ในสภาวะร้อน ภายในอุณหภูมิอากาศ 50, 55 และ 60 °C ที่ความเร็วลมคงที่

การดำเนินการด้านความร้อนและน้ำ
ในอุปกรณ์ด้านความร้อนและน้ำ: บทบาทการ
(ครั้งที่ 10)

1.0 mm และความชื้นขั้นต่ำที่รักษาไว้ 15% และ 25% และได้ทำการพัฒนาแบบจำลองทางคณิตศาสตร์ของกระบวนการหันหัว 3 แบบคือแบบจำลองการแพะร่อง Fick, logarithmic และ Verma จากผลที่ได้พบว่า อัตราการยอมแพะร่องมีอุณหภูมิที่เริ่มนับความชื้นตั้งที่ต่ำสุด ภาระบ่าแทรกวนร้อนจากเริ่มต้นก่อลงสามารถลดลงได้ด้วยแบบจำลองทางแพะร่อง Fick ภายใต้อุณหภูมิที่ก่อหนาโดยทำต่ำไปปะต่ำที่ก่อแพะร่องความชื้นนี้ถูกอยู่ในช่วง 3.88×10^{-10} ถึง 9.38×10^{-10} g⁻¹ s⁻¹ และต่ำกว่าร่องแก๊สตัน 78.83 กิโลกรัม/เมตรชั่วโมงเมื่อเทียบกับการหันหัวแบบจำลองขั้นต่ำของทางคณิตศาสตร์ ได้เปรียบเทียบข้อมูลทางสถิติ เป็น coefficient of determination (R^2), reduced chi-square (χ^2) และ root means square error (RMSE) ซึ่งค่าทั้งสามเป็นสำคัญในการตัดสินใจว่าอัตราผ่านความชื้นที่ได้จากการทดสอบกับการหันหัวนี้ค่าไถ่เดิมกันหรือไม่ ซึ่งสามารถสรุปได้ว่าแบบจำลอง logarithmic และแบบจำลอง Verma อนิจัยกับการยอมแพะร่องทางที่หันหัวที่น้ำหนักใจกับเดิมกับผลการทดสอบที่ต่อไป

สำหรับงานวิจัยมีวัตถุประสงค์เพื่อศึกษาเกี่ยวกองของปัจจัยในการอยู่อาศัยอันได้แก่ อุณหภูมิ และความชื้นในที่อยู่อาศัยซึ่งมีผลต่อเวลาอยู่อาศัยและคุณภาพของผู้อยู่อาศัยที่หลังการอยู่อาศัย

2. วัสดุและวิธีการ

3.1 អត្ថបទរបាយពេលវេលាលើនូវការងារ

รายงานที่ 1 เพศะระบบอนพันธ์ตัวอักษรไทยและอักษรจีน
ให้ในงานวิชาชีพ เป็นการให้ตัวอักษรคู่เรียงกันโดยใช้ตัวซ้ำร่วม
ผ่านวารสารวิชาชีพ 1 (V.1) (เดินทางเดินเส้นทางเรียนรู้และ
รักษาดูแลในประเทศ และการเพื่อสุขภาพภูมิเชื้อในเมืองให้เป็นไปอย่าง
ร้อนแรงอย่างไร้ผลผ่านอุปกรณ์ให้ความร้อน รวมทั้งความร้อนจะ
ดำเนินทางจากไข้สั่นออกทางตัวไปรังสีอุ่นๆ เพื่อให้ในกระบวนการห่อห้อง
จากวัสดุ งานการความต้านทานและรักษาภูมิคุ้มกันของภาระที่เก็บ
ค่าความร้อนที่เดินทาง ในการที่รับประทานมีความต้านทานพิเศษที่สูงจะทำให้
การปล่อยไข้ร้อนลดลงมากกว่าการห่อห้องกระบวนการทางวารสารวิชาชีพ
6 (V.6) เพื่อรักษาความดันภายในระบบ

2.2 การอ่านแบบเสียงภาษา

พื้นที่ทดลองที่บีบอัดกล่องเด็กด้วยเม็ดบางเฉียบเพิ่มพิเศษให้เป็นรูปทรงขนาด $10 \times 10 \times 10$ มิลลิเมตร แล้วทิ้งไว้ก้าวกระโดดลงบนพื้นที่ทดลองโดยไม่ใช้อุปกรณ์ช่วยยึดคงตัวของเด็กด้วยมือ แล้วนับจำนวนเด็กที่สามารถขึ้นลงบนสันติ์นี้ เก็บข้อมูลก่อนการทดสอบ ต่อ น้ำหนัก กี ปริมาตรของเด็กซึ่งจากนั้นนำเข้าห้องอบแห้งและรีบลงบนพื้นห้องเดียวกันที่เดินเครื่องไฟฟ้าความถี่ 120°C ความเร็ว 2 m/s ขณะที่ทำการทดสอบจะทิ้งหัวคนเด็กด้วย ตือ น้ำหนักและอุณหภูมิไปนั่นเองระหว่างที่นั่งในห้องอบแห้งประมาณครึ่งทุกๆ 10 นาที จนครบกำหนดเวลาถ้วนที่นักวิจัยตั้งใจไว้ 18% คือ น้ำหนักน้ำเด็กซึ่ง

การถ่ายเทพลังงานความร้อนและมวล
ในอุปกรณ์ด้านความร้อนและกระบวนการ
(ครั้งที่ 10) 105

$$L = 58.398 \pm 2.285$$

$$a = 16.576 \pm 1.419$$

$$b = 69.946 \pm 2.826$$

ตารางที่ 1 ผลการวิเคราะห์ค่าพารามิเตอร์ของพักร่องหลังการอบแห้งที่อุ่นภูมิ 160 °C ความเร็วไอน้ำ 2 m/s มีค่า L, a และ b ในอัตราส่วนเดียวกันซึ่งพักร่องสมมาตร (มีตัวเลขอย่างเดียว) คือ 38.22 ± 5.02 , 21.75 ± 1.67 และ 64.11 ± 8.36 ตามลักษณะ

Condition	Colour parameter		
	L*	a*	b*
<i>Velocity 2 m/s</i>			
SSD 120 °C	30.42 ± 4.81^a	21.95 ± 2.19^a	50.56 ± 6.25^a
SSD 140 °C	35.45 ± 4.96^b	14.42 ± 1.06^b	25.65 ± 4.42^b
SSD 160 °C	43.33 ± 3.23^c	16.78 ± 1.80^c	39.69 ± 5.96^c
SSD 180 °C	31.22 ± 5.40^a	22.21 ± 2.10^a	52.25 ± 8.48^{ab}
<i>Velocity 4 m/s</i>			
SSD 120 °C	39.80 ± 3.99^c	19.67 ± 2.81^c	65.56 ± 6.14^c
SSD 140 °C	34.55 ± 5.56^b	22.29 ± 3.26^d	54.57 ± 7.16^b
SSD 160 °C	38.22 ± 5.02^a	21.75 ± 1.67^a	64.11 ± 8.36^a
SSD 180 °C	31.11 ± 5.02^a	23.51 ± 1.67^a	53.10 ± 8.38^c

หมายเหตุ : ตัวอักษรภาษาอังกฤษที่กำกับท้ายค่าของข้อมูลในแนบชื่อเดียวกัน
--> ระบุว่าให้ค่าที่แยกต่างกันอย่างนี้ นัยสำคัญทางสถิติ ($p \leq 0.05$)

ตารางที่ 2 ผลการวัดการลดล้างของพักร่องหลังการอบแห้งที่อุ่นภูมิ 160 °C

Drying process	Shrinkage (%)
<i>Velocity 2 m/s</i>	
SSD 120 °C	45.40 ± 5.06^a
SSD 140 °C	62.83 ± 4.12^{ab}
SSD 160 °C	65.17 ± 5.37^d
SSD 180 °C	54.46 ± 4.20^{ab}
<i>Velocity 4 m/s</i>	
SSD 120 °C	52.57 ± 7.95^{ab}
SSD 140 °C	58.67 ± 4.90^{abc}
SSD 160 °C	51.73 ± 7.21^{ab}
SSD 180 °C	57.88 ± 5.41^{bc}

หมายเหตุ : ตัวอักษรภาษาอังกฤษที่กำกับท้ายค่าของข้อมูลในแนบชื่อเดียวกัน
--> ระบุว่าให้ค่าที่แยกต่างกันอย่างนี้ นัยสำคัญทางสถิติ ($p \leq 0.05$)

ตารางที่ 1 และพารามิเตอร์ของพักร่องหลังการอบแห้งที่อุ่นภูมิ 160 °C ที่ความเร็วไอน้ำ 2 และ 4 m/s จะเห็นว่าความชื้น
ของร่องเป็นสัดส่วนและค่าความเป็นสัดส่วนมีแนวโน้มไม่เปลี่ยนแปลงตามการ
ปรับเปลี่ยนอุณหภูมิและความเร็วไอน้ำ สำหรับค่าที่ 160 °C ที่อุณหภูมิและเวลา
ที่ใช้ในการอบแห้งที่ได้รับการทดสอบ

องค์ประกอบทางเคมีของเนื้อพักร่องเรց ยั่งไว้กับความรูปที่
อุณหภูมิ 160 °C ความเร็วไอน้ำ 2 m/s มีค่า L, a และ b
ใกล้เคียงกับค่าของพักร่องสมมาตร (มีตัวเลขอย่างเดียว) คือ 38.22 ± 5.02 , 21.75 ± 1.67 และ 64.11 ± 8.36 ตามลักษณะ

ตารางที่ 2 แสดงผลการทดสอบตัวอย่างพักร่องหลังการอบแห้ง
จะเห็นได้ว่าค่าการทดสอบตัวอย่างพักร่องอบแห้งแล้วแนวโน้ม
เพิ่มขึ้นแล้วลดลงเมื่ออุณหภูมิสูงขึ้น สำหรับความเร็วไอน้ำที่คงต่อ
การทดสอบ รายการและหน่วยที่อุณหภูมิ 120 °C และความเร็ว
2 m/s เกิดการทดสอบนี้ที่อุณหภูมิ 160 °C

ตารางที่ 3 ผลการวัดค่าเส้นผ่าศูนย์พักร่องหลังการอบแห้ง
ล้างไอน้ำให้ค่าที่แยกต่างกันอย่างนี้

Condition	Hardness (N)
<i>Velocity 2 m/s</i>	
SSD 120 °C	1.39 ± 0.70^{ab}
SSD 140 °C	1.34 ± 0.53^b
SSD 160 °C	1.20 ± 0.72^{ab}
SSD 180 °C	1.16 ± 0.43^{ab}
<i>Velocity 4 m/s</i>	
SSD 120 °C	1.39 ± 0.28^{ab}
SSD 140 °C	1.28 ± 0.21^{ab}
SSD 160 °C	1.20 ± 0.40^{ab}
SSD 180 °C	0.94 ± 0.47^a

หมายเหตุ : ตัวอักษรภาษาอังกฤษที่กำกับท้ายค่าของข้อมูลในแนบชื่อเดียวกัน
--> ระบุว่าให้ค่าที่แยกต่างกันอย่างนี้ นัยสำคัญทางสถิติ ($p \leq 0.05$)

ตารางที่ 3 แสดงการทดสอบค่าความแข็งของพักร่อง
หลังการอบแห้ง ซึ่งแนวโน้มนี้ลดลงเมื่ออุณหภูมิที่ใช้ในการ
อบแห้งเพิ่มขึ้น แสดงให้เห็นว่า พักร่องมีค่าการอบแห้งที่
อุณหภูมิสูงความแข็งจะลดลงไป โดยจะถูกยกเป็นความเปลี่ยน
นาฬิกา ขณะที่การทดสอบจะเกิดขึ้นภายในเวลา 2-4 นาทีที่
ไม่ทราบช่วงเวลาที่อุณหภูมิและความเร็วไอน้ำไม่ทราบช่วง
เวลา ที่ทำให้เวลาในการอบแห้งเพิ่งต้อง ล้างคุณภาพของ
ผลิตภัณฑ์ พนักงานตรวจสอบอุณหภูมิและความเร็วไอน้ำให้ค่าของเวลา
ที่นี้มีแนวโน้มไม่แน่นอนของการเปลี่ยนแปลงค่าที่ การอบแห้ง
ตัวอย่างนี้ร้อนรวดเร็วที่อุณหภูมิสูงมีผลให้การทดสอบนี้
แนวโน้มเพิ่มขึ้นเล็กน้อย สำหรับค่าความแข็งนี้อ่อนตัวลง ให้เกิด
ความแข็ง พนักงานตรวจสอบเมื่ออุณหภูมิเพิ่มสูงขึ้นแต่

4. สรุปผลการวิจัย

จากการศึกษาการอบแห้งพักร่องด้านในน้ำร้อนพบว่าที่
อุณหภูมิ 120-180 °C และความเร็วไอน้ำ 2 และ 4 m/s พนักงานเมื่อช่วง
2-4 นาที พนักงานเมื่ออุณหภูมิและความเร็วไอน้ำไม่ทราบช่วง
เวลา ที่ทำให้เวลาในการอบแห้งเพิ่งต้อง ล้างคุณภาพของ
ผลิตภัณฑ์ พนักงานตรวจสอบอุณหภูมิและความเร็วไอน้ำให้ค่าของเวลา
ที่นี้มีแนวโน้มไม่แน่นอนของการเปลี่ยนแปลงค่าที่ การอบแห้ง
ตัวอย่างนี้ร้อนรวดเร็วที่อุณหภูมิสูงมีผลให้การทดสอบนี้
แนวโน้มเพิ่มขึ้นเล็กน้อย สำหรับค่าความแข็งนี้อ่อนตัวลง ให้เกิด
ความแข็ง พนักงานตรวจสอบเมื่ออุณหภูมิเพิ่มสูงขึ้นแต่



ประวัติผู้เขียน

ชื่อ-สกุล

นางสาวทิพารรรณ บุญเชื่อม

วัน เดือน ปี เกิด

19 มีนาคม 2526

ประวัติการศึกษา

พ.ศ. 2545

สำเร็จการศึกษามัธยมตอนต้นและตอนปลายจาก
โรงเรียนบุญราษฎร์วิทยาลัย จังหวัดลำปาง

พ.ศ. 2551

สำเร็จการศึกษาวิศวกรรมศาสตรบัณฑิต
สาขาวิศวกรรมเกษตร จากมหาวิทยาลัยแม่โจ้
จังหวัดเชียงใหม่

